

# IL PROCESSO $e^+e^- \rightarrow \mu^+\mu^-$ IN APPROSSIMAZIONE DI BORN NEL MODELLO STANDARD

MARIO CIACCO  
MATRICOLA 835681

In questo *essay* sono calcolati i termini d'interazione fermione-antifermione-scalare nel Modello Standard necessari per il calcolo completo dell'ampiezza del processo ed è verificata l'invarianza di gauge dell'elemento di matrice  $S$  all'ordine perturbativo più basso. Viene poi presentato il calcolo della sezione d'urto differenziale in cui si trascurano i contributi dell'interazione con il campo scalare. In conclusione si calcola l'ampiezza relativa al diagramma con linea del campo di Higgs come esempio di interazione fermione-scalare.

## I INTRODUZIONE

Le interazioni elettrodeboli sono descritte in modo unificato nella lagrangiana con gruppo di simmetria  $SU(2) \times U(1)$ . In tale modello, i leptoni interagiscono con i quattro campi di gauge  $W^\pm$ ,  $Z$  e  $A$ , e con il doppietto scalare  $\Phi$  necessario per l'introduzione dei termini di massa. Nel caso particolare del processo  $e^+e^- \rightarrow \mu^+\mu^-$ , all'ordine più basso in teoria delle perturbazioni, la parte di lagrangiana d'interazione da considerare è formata da due contributi separati. Il primo è il termine di correnti neutre

$$\mathcal{L}_{nc} = \sum_{i=e,\mu} \left\{ \frac{g}{4 \cos \theta_W} \bar{\ell}_i \gamma^\mu (4 \sin^2 \theta_W - 1 + \gamma^5) \ell_i Z_\mu - e \bar{\ell}_i \gamma^\mu \ell_i A_\mu \right\} \quad (1)$$

da cui si estrae il vertice a tre linee con il campo  $Z$  (risp.  $A$ ) e la coppia leptone-antileptone, di valore  $i(g/4c)\gamma^\mu(V + \gamma^5)$  (risp.  $-ie\gamma^\mu$ ), avendo posto  $c \equiv \cos \theta_W$  e  $V \equiv 4 \sin^2 \theta_W + 1$ . Il secondo contributo è dato dall'interazione dei campi dell'elettrone e del muone con le componenti del campo  $\Phi$ .

## II L'INTERAZIONE CON IL CAMPO SCALARE

$$\mathcal{L}_s = (D_\mu \Phi)^\dagger D^\mu \Phi + \frac{\lambda}{4!} (|\Phi|^2 - F^2)^2, \quad \lambda > 0 \quad (2)$$

$$\Phi = \begin{pmatrix} 0 \\ F \end{pmatrix} + \begin{pmatrix} \phi_1 \\ \phi_2 \end{pmatrix} = \begin{pmatrix} 0 \\ F \end{pmatrix} + \frac{1}{\sqrt{2}} \begin{pmatrix} \sqrt{2}\phi_1 \\ H + i\phi^0 \end{pmatrix} \quad (3)$$

$$\mathcal{L}_{sf} = - \sum_{i=e,\mu} \{ y_i \bar{\psi}_{i,L} \Phi \psi_{i,R} + h.c. \} \quad (4)$$

$$y_j = \frac{1}{\sqrt{2}} g \frac{m_j}{M_W} \quad (5)$$

$$\begin{aligned} \mathcal{L}_{sf} &\Rightarrow \frac{y_j}{\sqrt{2}} (\bar{\nu}_j \quad \bar{\ell}_j) \begin{pmatrix} 1 + \gamma^5 \\ 2 \end{pmatrix} \begin{pmatrix} - \\ \sqrt{2}F + H + i\phi^0 \end{pmatrix} \begin{pmatrix} 1 + \gamma^5 \\ 2 \end{pmatrix} \ell_j + h.c. \\ &= y_j \bar{\ell}_j F \ell_j + \frac{y_j}{\sqrt{2}} \bar{\ell}_j H \ell_j + i \frac{y_j}{\sqrt{2}} \bar{\ell}_j \gamma^5 \phi^0 \ell_j \end{aligned} \quad (6)$$

$$\frac{m_\mu}{M_W} \simeq 10^{-3} \quad (7)$$

### III L'INVARIANZA DI GAUGE DELL'ELEMENTO DI MATRICE $S$

$$|M|^2 = |M_1 + M_2 + M_3 + M_4|^2 \quad (8)$$

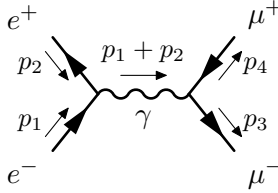
$$iG_F^{\mu\nu}(p) = \frac{-i}{p^2 - M_Z^2} \left\{ g^{\mu\nu} - (1 - \xi^2) \frac{p^\mu p^\nu}{p^2 - \xi^2 M_Z^2} \right\}; \quad i\Delta_F(p) = \frac{i}{p^2 - \xi^2 M_Z^2} \quad (9)$$

$$\begin{aligned} M_2 + M_3 \Rightarrow & - \left( \frac{g}{4c} \right)^2 \frac{i(1 - \xi^2)}{s^2 - M_Z^2} \frac{(p_1 + p_2)^\mu (p_3 + p_4)^\nu}{s - \xi^2 M_Z^2} \bar{v}(p_1) \gamma_\mu (V + \gamma^5) u(p_2) \bar{u}(p_3) \gamma_\nu (V + \gamma^5) v(p_4) \\ & + \left( \frac{g}{2} \right)^2 \frac{m_e m_\mu}{M_W^2} \frac{i}{s - \xi^2 M_Z^2} \bar{v}(p_1) \gamma^5 u(p_2) \bar{u}(p_3) \gamma^5 v(p_4) \end{aligned} \quad (10)$$

$$\begin{aligned} M_2 \Rightarrow & - \left( \frac{g}{4c} \right)^2 \frac{i(1 - \xi^2)}{s^2 - M_Z^2} \frac{1}{s - \xi^2 M_Z^2} \left\{ m_e [-\bar{v}(p_1) \gamma_\mu (V + \gamma^5) u(p_2) + \bar{v}(p_1) \gamma_\mu (V - \gamma^5) u(p_2)] \right. \\ & \left. \times m_\mu [\bar{u}(p_3) \gamma_\nu (V + \gamma^5) v(p_4) - \bar{u}(p_3) \gamma_\nu (V - \gamma^5) v(p_4)] \right\} \end{aligned} \quad (11)$$

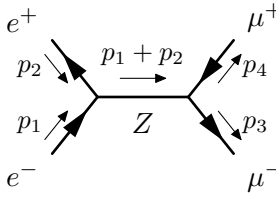
$$M_2 + M_3 \Rightarrow \left( \frac{g}{4c} \right)^2 \frac{4im_e m_\mu}{s - \xi^2 M_Z^2} \left\{ \frac{M_Z^2 - \xi^2 M_Z^2 + s - M_Z^2}{M_Z^2 (s - M_Z^2)} \right\} \bar{v}(p_1) \gamma^5 u(p_2) \bar{u}(p_3) \gamma^5 v(p_4) \quad (12)$$

### IV LA SEZIONE D'URTO DIFFERENZIALE



$$\Rightarrow M_1 = (-ie)^2 \bar{v}(p_1) \gamma^\mu u(p_2) \frac{-ig_{\mu\nu}}{(p_1 + p_2)^2} \bar{u}(p_3) \gamma^\nu v(p_4) \quad (13)$$

$$\frac{1}{4} \sum_{spin} |M_1|^2 = \frac{2e^4}{s^2} \{ (u - m_e^2 - m_\mu^2)^2 + (t - m_e^2 - m_\mu^2)^2 + 2(m_e^2 + m_\mu^2)s \} \quad (14)$$



$$\Rightarrow M_2 = \left( \frac{ig}{4c} \right)^2 \bar{v}(p_1) \gamma^\mu (V + \gamma^5) u(p_2) \frac{-ig_{\mu\nu}}{(p_1 + p_2)^2 - M_Z^2} \bar{u}(p_3) \gamma^\nu (V + \gamma^5) v(p_4) \quad (15)$$

$$\begin{aligned} \frac{1}{4} \sum_{spin} |M_2|^2 = & 2 \left( \frac{g}{4c} \right)^4 \frac{1}{(s - M_Z^2)^2} \{ [(V^2 + 1)^2 + 4V^2] (u - m_e^2 - m_\mu^2)^2 \\ & + [(V^2 + 1)^2 - 4V^2] (t - m_e^2 - m_\mu^2)^2 \\ & + 2(V^4 - 1) [(m_\mu^2 + m_e^2)s - 4m_\mu^2 m_e^2] \\ & + 8m_\mu^2 m_e^2 (V^2 - 1)^2 \} \end{aligned} \quad (16)$$

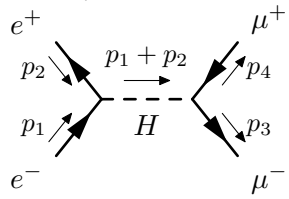
$$\begin{aligned} \frac{1}{4} \sum_{spin} M_1 M_2^\dagger = & 2e^2 \left( \frac{g}{4c} \right)^2 \frac{1}{s(s - M_Z^2)} \{ (V^2 + 1)(u - m_e^2 - m_\mu^2)^2 \\ & + (V^2 - 1)(t - m_e^2 - m_\mu^2)^2 \\ & + 2V^2 (m_e^2 + m_\mu^2)s \} \end{aligned} \quad (17)$$

$$\begin{aligned}
\frac{d\sigma}{dt} &= (2\pi)^{4-6} \cdot F \cdot \int dP_{2 \rightarrow 2} \cdot \frac{1}{4} \sum_{spin} |M|^2 \\
&= \frac{1}{(2\pi)^2} \cdot \frac{1}{2s^{\frac{1}{2}}(s-4m_e^2)^{\frac{1}{2}}} \cdot \frac{\pi}{2s^{\frac{1}{2}}(s-4m_e^2)^{\frac{1}{2}}} \cdot \frac{1}{4} \sum_{spin} \left\{ |M_1|^2 + |M_2|^2 + 2M_1 M_2^\dagger \right\}
\end{aligned} \tag{18}$$

$$\frac{d\sigma}{d\cos\theta} = \frac{(s-4m_e^2)^{\frac{1}{2}}(s-4m_\mu^2)^{\frac{1}{2}}}{2} \frac{d\sigma}{dt} \tag{19}$$

$$\begin{aligned}
\frac{d\sigma}{d\cos\theta} &= \frac{1}{32\pi s} \left( \frac{s-4m_\mu^2}{s-4m_e^2} \right)^{\frac{1}{2}} \left\{ \frac{e^4}{s^2} \left\{ s^2 + (s-4m_\mu^2)(s-4m_e^2) \cos^2\theta + 4(m_e^2 + m_\mu^2)s \right\} \right. \\
&+ \left( \frac{g}{4c} \right)^4 \frac{1}{(s-M_Z^2)^2} \left\{ (V^2+1)^2 [s^2 + (s-4m_e^2)(s-4m_\mu^2) \cos^2\theta] + 4V^2 s(s-4m_e^2)^{\frac{1}{2}}(s-4m_\mu^2)^{\frac{1}{2}} \cos\theta \right. \\
&+ 2(V^4-1) [(m_\mu^2 + m_e^2)s - 4m_\mu^2 m_e^2] + 8m_\mu^2 m_e^2 (V^2-1)^2 \left. \right\} \\
&+ 2e^2 \left( \frac{g}{4c} \right)^2 \frac{1}{s(s-M_Z^2)} \left\{ V^2 [s^2 + (s-4m_e^2)(s-4m_\mu^2) \cos^2\theta] + 2s(s-4m_e^2)^{\frac{1}{2}}(s-4m_\mu^2)^{\frac{1}{2}} \cos\theta \right. \\
&\left. \left. + 4V^2(m_e^2 + m_\mu^2) \right\} \right\}
\end{aligned} \tag{20}$$

**V L'AMPIEZZA DEL DIAGRAMMA CON LINEA INTERNA DI HIGGS**



$$M_H = \left( \frac{ig}{2} \right)^2 \frac{m_e m_\mu}{M_W^2} \bar{v}(p_1) u(p_2) \frac{i}{(p_1 + p_2)^2 - M_H^2} \bar{u}(p_3) v(p_4) \tag{21}$$

$$\begin{aligned}
\frac{1}{4} \sum_{spin} |M_H|^2 &= \left( \frac{ig}{2} \right)^4 \left( \frac{m_e m_\mu}{M_W^2} \right)^2 \frac{1}{(s-M_H^2)^2} \{ (s-2m_e^2)(s-2m_\mu^2) \\
&\quad - 2(m_e^2 + m_\mu^2)s + 8m_e^2 m_\mu^2 \}
\end{aligned} \tag{22}$$

## Riferimenti bibliografici

- [1] George Stermann. *An Introduction to Quantum Field Theory*. Cambridge University Press, 1993.
- [2] Martinus Veltman. *Diagrammatica: The Path to Feynman Diagrams*. Cambridge University Press, 1994.